

# Influência dos Comportamentos Anatômicos e Neurais no Índice Fator de Preenchimento do EMG

Palavras-Chave: eletromiografia, modelo neuromuscular, unidade motora

Autores(as):

Mariana Victoria Freire, FEEC

Ricardo Gonçalves Molinari, FEEC

Prof.<sup>a</sup> Dr.<sup>a</sup> Carina Marconi Germer, FEEC

## INTRODUÇÃO:

O índice Fator de Preenchimento (FF, do inglês filler factor) da eletromiografia de superfície (EMG) quantifica o grau de preenchimento do sinal, refletindo indiretamente a relação sinal-ruído [1]. Durante tarefa de extensão gradual do joelho até 40% da contração voluntária máxima (MVC, do inglês maximal voluntary contraction), esse índice apresentou comportamento distinto entre os músculos do quadríceps [1]. No reto femoral, o FF aumentou progressivamente com o aumento da força, enquanto nos músculos vasto lateral e medial, foram observadas uma ou duas reduções abruptas no índice, indicando presença abrupta de potenciais de ação de grande amplitude no EMG. Estes comportamentos do FF foram nomeados como padrão contínuo e pulsátil/saltatório. Entretanto, alguns fatores experimentais alteraram o padrão pulsátil para contínuo no músculo vasto lateral, como em aumento abrupto de força ao invés do gradual [2], e quando a tarefa é realizada por mulheres [3]. Neste último estudo, como o padrão pulsátil foi observado na maioria dos EMGs de homens, uma hipótese que surgiu foi que a camada subcutânea poderia ser um fator decisório neste padrão saltatório do FF. Os homens geralmente apresentam uma camada de gordura subcutânea mais fina, o que reduz o efeito atenuador da amplitude dos potenciais de ação nos sinais de EMG. Além da camada subcutânea, outros fatores neurofisiológicos podem influenciar o padrão do EMG, como a distribuição da amplitude dos potenciais das unidades motoras e o padrão de recrutamento dessas unidades. Sendo assim, este trabalho tem como objetivo investigar como comportamentos anatômicos e neurais influenciam o índice FF, por meio de simulações computacionais com um modelo neuromuscular, buscando elucidar as características neurofisiológicas associadas aos padrões contínuos ou pulsátil observados no índice FF.

#### **METODOLOGIA:**

A fim de explorar o efeito de características neurofisiológicas no padrão do FF, foi utilizado o modelo computacional neuromuscular NeMU [4] para simular o EMG do músculo vasto lateral. Para tanto, a quantidade de unidades motoras do tipo 1, 2a e 2b foram configuradas com os valores 40, 32 e 20, respectivamente [5].

Os fatores neurais investigados foram: a faixa de recrutamento (RR, do inglês *recruitment range*), que controla em qual intensidade, proporcional à contração máxima, toda a população de unidades motoras é recrutada; a intensidade normalizada dos comando excitatórios descendentes da última unidade motora recrutada ( $\tilde{e}$  LR, do inglês *normalized excitatory drive that recruits the last motor unit*) e a amplitude do potencial de ação da última unidade motora recrutada (MUn AM, do inglês n motor unit amplitude). Para a faixa de recrutamento, foi explorado os valores 60 e 200, para a LR, 40 e 90, e para a amplitude, 80 e 130 mV.

Em seguida, foram investigadas as características da pele e camada subcutânea. Para isso, foi considerado como base um modelo em que o RR = 60, LR = 40 e Am =130, e foram analisados dois cenários: i) camada de pele de 0.1 mm e 0.2 mm de gordura, ii) camada de pele de 3 mm e a de gordura 5 mm.

Para cada conjunto de fatores explorados, foi realizada uma simulação com um comando excitatório descendente aumentando gradualmente de intensidade de 0 a 40% da excitação máxima por 60 segundos, simulando as condições experimentais da literatura [1]. Os sinais de EMG foram então obtidos e processados por algoritmos desenvolvido na linguagem Python.

O cálculo do fator de preenchimento é dado a partir da raiz da média quadrática (RMS) de amostras do EMG a cada janela de 0.7 s, sem sobreposição, em que |x[n]| refere-se ao módulo do sinal EMG e N ao número de amostras:

(1) 
$$m_1 = \frac{1}{N} \sum_{n=0}^{N-1} |x[n]|$$

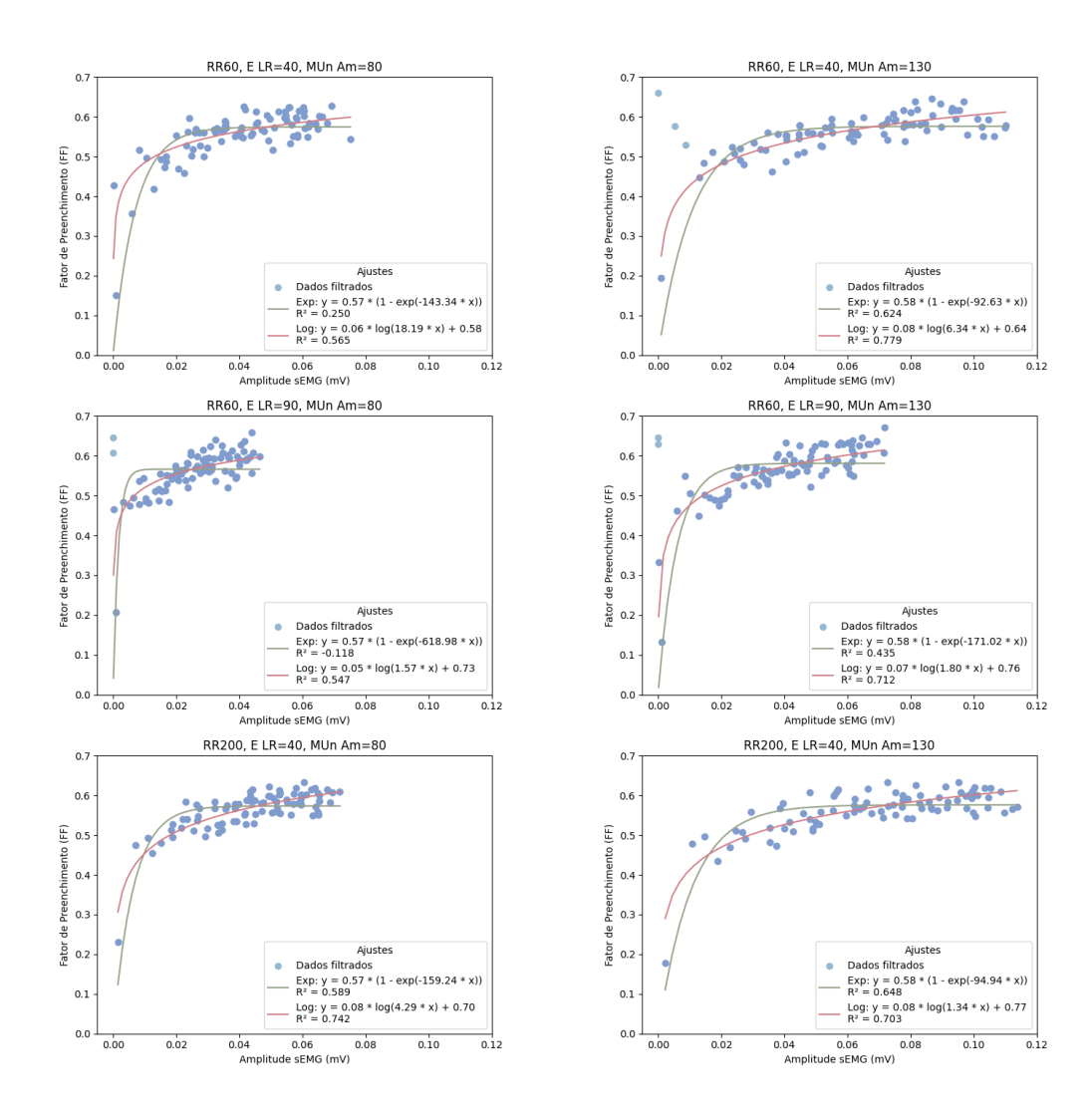
(2) 
$$m_2 = \frac{1}{N} \sum_{n=0}^{N-1} |x[n]|^2$$
  
(3)  $FF = \frac{m_1^2}{m_2}$ 

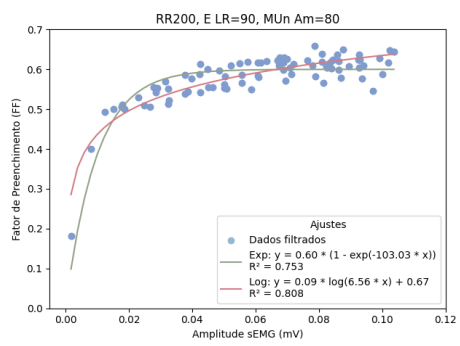
(3) 
$$FF = \frac{m_1^2}{m_2}$$

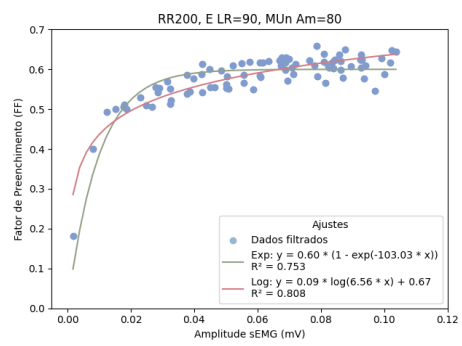
A relação entre o FF obtido ao longo de uma tarefa de contração e a amplitude do EMG é apresentada em um gráfico, e, então, é observado se o EMG cresce de maneira contínua ou se há aumentos abruptos na amplitude (pulsátil). Para descrever o comportamento do FF, foram ajustadas curvas exponencial e logarítmica aos dados obtidos. O coeficiente de determinação foi utilizado para definir qual ajuste melhor representa os dados.

### RESULTADOS E DISCUSSÃO:

A Figura 1 apresenta os FF para as simulações com as diferentes combinatórias de fatores neurais explorados. Nota-se que, em todos os casos, o FF apresentou um comportamento contínuo, com apenas uma redução do FF que correspondeu logo ao início da contração.

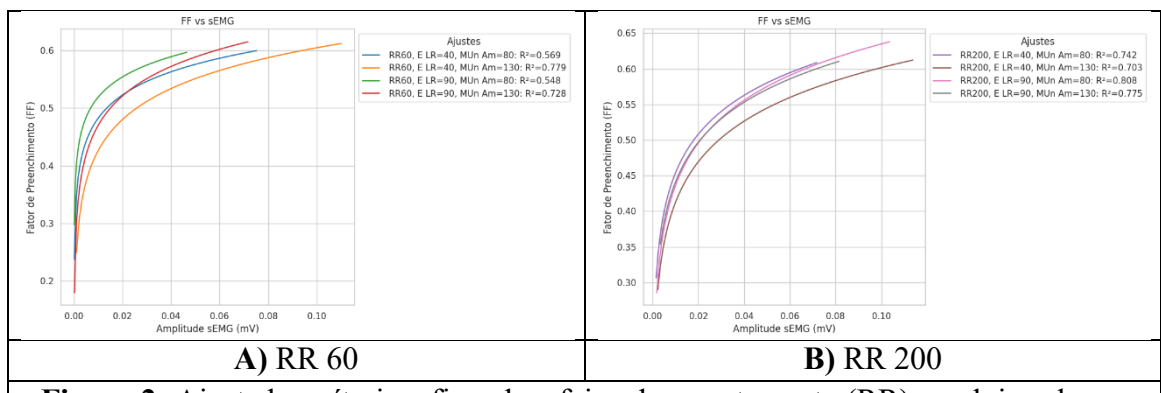






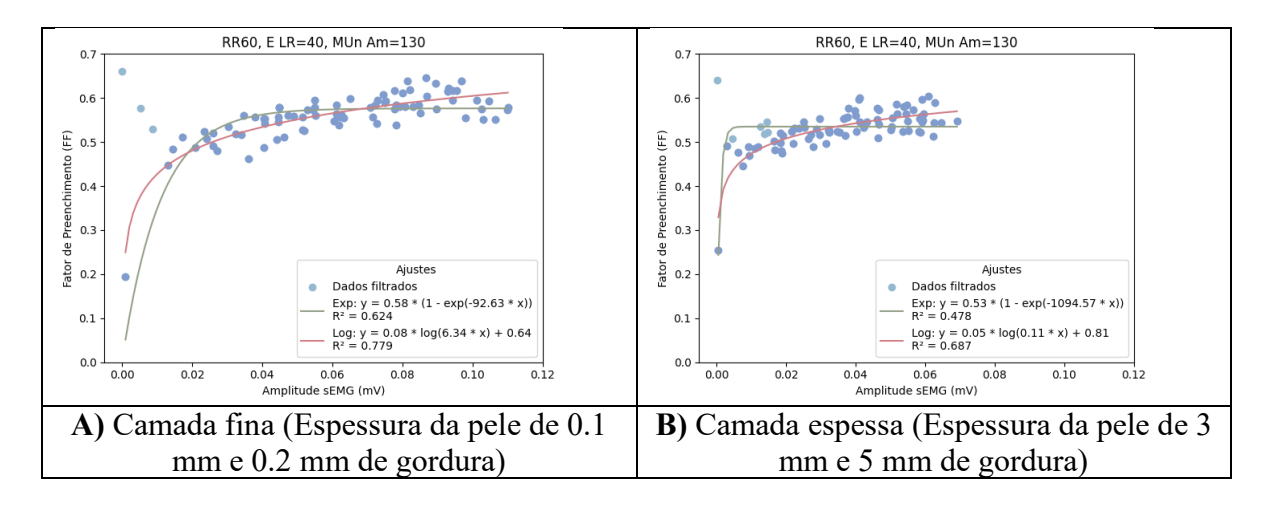
**Figura 1:** Fator de Preenchimento (FF) em relação à amplitude do sinal de EMG para diferentes simulações computacionais. Os títulos indicam os parâmetros utilizados, sendo RR a faixa de recrutamento, E LR o nível excitatório da última unidade motora e MUn AM a amplitude do potencial de ação da última unidade motora. Cada marcador indica o FF nas janelas de 0,7s. As linhas cinza e vermelha representam os ajustes exponencial e logarítmico, respectivamente.

A fim de facilitar o entendimento da influência de cada fator, foram agrupados os ajustes logaritmos das diferentes simulações, pois possuem o maior valor do coeficiente de determinação  $R^2$ . A Figura 2 mostra o comportamento do FF quando a faixa de recrutamento é fixada. Nota-se que para uma taxa de recrutamento menor, a tendência é uma curva logarítmica muito mais acentuada. Observa-se, também, que a amplitude da última unidade motora tende a desacelerar esta curva, enquanto o nível de excitação tende a acelerar, principalmente na condição RR60.



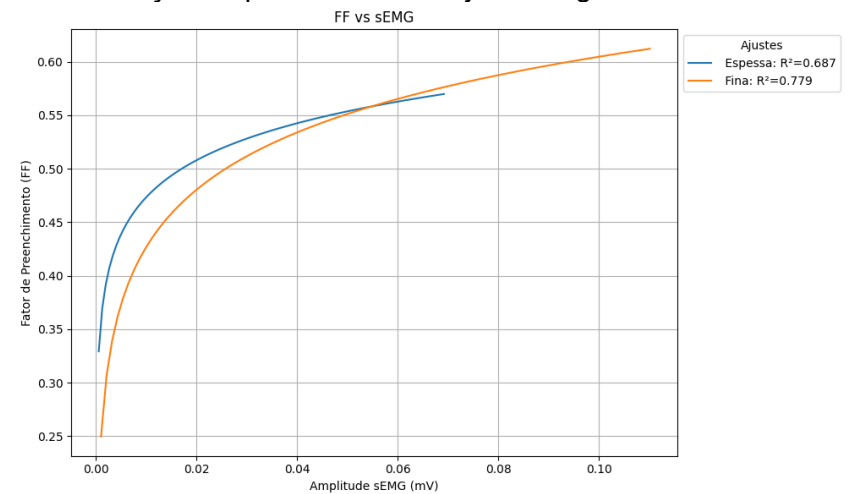
**Figura 2:** Ajuste logarítmico, fixando a faixa de recrutamento (RR) em dois valores: 60 e 200

Em relação à camada subcutânea de gordura e espessura de pele, o FF também se mostrou contínuo (Figura 3).



**Figura 3:** Fator de Preenchimento (FF) em relação à amplitude do sinal de EMG para diferentes simulações computacionais de espessuras da camada subcutânea. As linhas cinza e vermelha representam os ajustes exponencial e logarítmico, respectivamente

Para uma melhor visualização foi plotado os dois ajustes logarítmicos em uma mesma figura:



**Figura 6:** Ajuste logarítmico do Fator de Preenchimento para os cenários de uma camada subcutânea espessa e fina

Conforme esperado, a amplitude do EMG apresenta valores mais baixos para camadas mais espessas, devido ao efeito filtrante do volume condutor, e apresentou uma curva de FF mais acentuada.

## **CONCLUSÕES:**

As simulações apresentadas indicaram que alterações nos fatores neurais (faixa de recrutamento, força excitatória e amplitude dos potenciais de ação) e anatômicas (espessura da pele e gordura) não conseguiram representar um padrão pulsátil do FF. Este, se mostrou contínuo, independentemente da combinatória dos fatores. Outros fatores neurais e morfológicos devem estar relacionados com o padrão pulsátil observado, mas novas simulações são necessárias.

#### **BIBLIOGRAFIA**

- 1: RODRIGUEZ-FALCES J., MALANDA A., MARISCAL C., NIAZI IK, NAVALLAS J. Validation of the filling factor index to study the filling process of the sEMG signal in the quadriceps. *J Electromyogr Kinesiol*. 2023 Oct; 72:102811.
- 2: RODRIGUEZ-FALCES J., MALANDA A., MARISCAL C. et al. The probability density function of the surface electromyogram and its dependence on contraction force in the vastus lateralis. *BioMed Eng OnLine* 23, 106 (2024).
- 3: RODRIGUEZ-FALCES, JAVIER et al. The filling factor of the sEMG signal at low contraction forces in the quadriceps muscles is influenced by the thickness of the subcutaneous layer. Frontiers in physiology vol. 14 1298317. 5 Jan. 2024
- 4: MOLINARI, R.G., ELIAS, L.A. (2019) **An interactive Python notebook as an educational tool for neuromuscular control**. In: *Proceedings of the 49th Annual Meeting of the Society for Neuroscience*, Chicago.
- 5: STARON, R S et al. Fiber type composition of the vastus lateralis muscle of young men and women. The journal of histochemistry and cytochemistry: official journal of the Histochemistry Society vol. 48,5 (2000): 623-9.